

УДК 681.3

ПРЫХОЖЫ А. А., КАРАСІК А. М.

## КААПЕРАТЫЎНЫЯ БЛОЧНА-ПАРАЛЕЛЬНЫЯ АЛГАРЫТМЫ РАШЭННЯ ЗАДАЧ НА ШМАТ'ЯДРАВЫХ СІСТЭМАХ

Беларускі нацыянальны тэхнічны ўніверсітэт

*Разглядаецца праблема балансавання вылічальнай нагрузкі на ядрах шмат'ядравай сістэмы і павышэння эфектыўнасці ўзаемадзеяння патокаў у шматпаточных праграмных прыкладанняў. Прапанаваны кааператыўныя блочна-паралельныя алгарытмы рашэння складаных задач, якія паддаюцца падзелу на часткі. Яны памяншаюць колькасць перадач кіравання паміж патокамі, скарачаюць даўжыню крытычнага шляху ў паралельнай рэалізацыі, павышаюць загрузанасць ядраў.*

### Увядзенне

Праблема распрацоўкі эфектыўных шматпаточных праграмных прыкладанняў для шмат'ядравых сістэм з'яўляецца навукова актуальнай і практычна запатрабаванай у навукова-тэхнічных галінах. Паралельнае шматпаточнае праграмаванне выконваецца для вырашэння многіх задач, якія маштабуюцца, напрыклад, задачы рашэння сістэмы лінейных алгебраічных раўнанняў (СЛАР) [1]. Праграмаванне і выкарыстанне шмат'ядравых сістэм падтрымліваецца аперацыйнымі сістэмамі з выцяснючай і кааператыўнай шматзадачнасцю. У працы [2] даследаваны метады рэалізацыі шматпаточных прыкладанняў на шмат'ядравых сістэмах, якія кіруюцца аперацыйнай сістэмай з выцяснючай шматзадачнасцю. У працы [3] паказана, што выкарыстанне кааператыўнай шматзадачнасці з'яўляецца пераважнай у параўнанні з выцяснючай шматзадачнасцю і што кааператыўная мадэль выканання патокаў дазваляе атрымаць значнае паскарэнне на шмат'ядравай сістэме. У дадзеным артыкуле прапануюцца кааператыўныя блочна-паралельныя алгарытмы рашэння задач, якія паддаюцца падзелу на часткі, і праводзіцца эксперыментальнае супастаўленне прапанаваных і вядомых алгарытмаў па шырокаму спектру параметраў і залежнасцяў.

### Блочна-паралельныя алгарытмы Гаўса рашэння СЛАР

Метад Гаўса вырашае СЛАР выгляду  $A \times x = b$ , дзе  $A$  – лічбавая матрыца памерам

$M \times M$ ;  $x$  – вектар зменных памерам  $M$ ;  $b$  – лічбавы вектар памерам  $M$ . Прамы ход прыводзіць матрыцу  $A$  да трохкутнаму выглядзе. Зваротны ход знаходзіць значэння зменных  $x$ . Блочна-паралельныя алгарытмы Гаўса [1] арыентаваны на паралельную рэалізацыю на шматпрацэсарных сістэмах (мал. 1). Яны разбіваюць матрыцу  $A$  на блокі  $A^t$ ,  $t = 0, \dots, T - 1$  памерам  $N \times M$  кожны, дзе  $N = M / T$ , і разбіваюць вектары  $x$  і  $b$  на блокі  $x^t$  і  $b^t$  адпаведна памерам  $N$ . Алгарытм  $\mu 1$  ўключае ў паток  $t$ , які прымае значэнні ад 0 да  $T - 1$ , радкі  $r = 0 + t \times N, 1 + t \times N \dots N - 1 + t \times N$  такім чынам, што ў паток 0 ўваходзяць радкі 0, ...,  $N - 1$ , ў паток 1 ўваходзяць радкі  $N, \dots, 2N - 1$  і г. д. У якасці актыўнага радка алгарытм  $\mu 1$  спачатку паслядоўна выбірае радкі патоку 0, затым радкі патоку 1 і г. д. да патоку  $T - 1$  (мал. 1 злева). Алгарытм  $\mu 2$  ўключае ў паток  $t$  радкі  $r = t, T + t, \dots, (N - 1) \times T + t$  такім чынам, што ў паток 0 ўваходзяць радкі 0,  $T, \dots, (N - 1) \times T$ , у паток 1 ўваходзяць радкі 1,  $T + 1, \dots, (N - 1) \times T + 1$  і г. д. У якасці актыўнага радка алгарытм  $\mu 2$  спачатку паслядоўна выбірае нулявыя радкі патокаў 0, ...,  $T - 1$ , затым першыя радкі патокаў 0, ...,  $T - 1$ , і г. д. да радкоў з нумарамі  $N - 1$  (мал. 1 справа).

На мал. 1 аперацыя  $K(t, k)$  пералічвае актыўны радок  $v = t \times N + k$  матрыцы  $A$  ў патоку  $t$  па першым ненулявым элеменце з нумарам  $v$  ў радку  $v$ :  $a_{vj} = a_{vj}/a_{vv}$  і  $b_v = b_v/a_{vv}$  для  $j = v, \dots, M - 1$ . Аперацыя  $P(MyT, t, k, i)$  пералічвае пасіўны радок  $v = MyT \times N + i$  матрыцы  $A$  ў пато-

```

for(p = 0; t < T; t++) {
  for(k = 0; k < N; k++) {
    if(myT==t) {
      K(t,k);
      for(d=t+1; d<T; d++) SEND(t,k,d);
      for(i=k+1; i<N; i++) П(t,t,k,i);
    } else if(myT>t) {
      RECEIVE(myT,k,t);
      for(i=0; i<N; i++) П(myT,t,k,i);
    }
  }
}
    
```

μ1

```

for(k = 0; k < N; k++) {
  for(p = 0; t < T; t++) {
    if(myT == t) {
      K(t,k); SEND(t,k,all);
      for(i=k+1; i<N; i++) П(t,t,k,i);
    } else if(myT<t) {
      RECEIVE(myT,k,t);
      for(i=k+1; i<N; i++) П(myT,t,k,i);
    } else if(myT>t) {
      RECEIVE(myT,k,t);
      for(i=k; i<N; i++) П(myT,t,k,i);
    }
  }
}
    
```

μ2

Малюнок 1. - Блочна-паралельныя алгарытмы μ1 і μ2 для аднаго патоку MyT (прамы ход)

№	ЛП 0			ЛП 1		
1	T0	K0	C0			
2	T0	Π0	C1	T1	Π0	C2
3	T2	Π0	C4	T1	Π0	C3
4	T2	Π0	C5	T3	Π0	C6
5	T0	K1	C1	T3	Π0	C7
6	T2	Π1	C4	T1	Π1	C2
7	T2	Π1	C5	T1	Π1	C3
8				T3	Π1	C6
9				T3	Π1	C7
10				T1	K2	C2
11	T2	Π2	C4	T1	Π2	C3
12	T2	Π2	C5	T3	Π2	C6
13				T3	Π2	C7
14				T1	K3	C3
15	T2	Π3	C4	T3	Π3	C6
16	T2	Π3	C5	T3	Π3	C7
17	T2	K4	C4			
18	T2	Π4	C5	T3	Π4	C6
19	T2	K5	C5	T3	Π4	C7
20				T3	Π5	C6
21				T3	Π5	C7
22				T3	K6	C6
23				T3	Π6	C7
24				T3	K7	C7

μ1

№	ЛП 0			ЛП 1		
1	T0	K0	C0			
2	T0	Π0	C4	T1	Π0	C1
3	T2	Π0	C2	T1	Π0	C5
4	T2	Π0	C6	T3	Π0	C3
5				T3	Π0	C7
6				T1	K1	C1
7	T0	Π1	C4	T1	Π1	C5
8	T2	Π1	C2	T3	Π1	C3
9	T2	Π1	C6	T3	Π1	C7
10	T2	K2	C2			
11	T2	Π2	C6	T1	Π2	C5
12	T0	Π2	C4	T3	Π2	C3
13				T3	Π2	C7
14				T3	K3	C3
15	T0	Π3	C4	T3	Π3	C7
16	T2	Π3	C6	T1	Π3	C5
17	T0	K4	C4			
18	T2	Π4	C6	T1	Π4	C5
19				T3	Π4	C7
20				T1	K5	C5
21	T2	Π5	C6	T3	Π5	C7
22	T2	K6	C6			
23				T3	Π6	C7
24				T3	K7	C7

μ2

Малюнок 2. - Крокі працы алгарытмаў μ1 і μ2 на 8 радках, 4 патоках, 2 працэсарах (прамы ход)

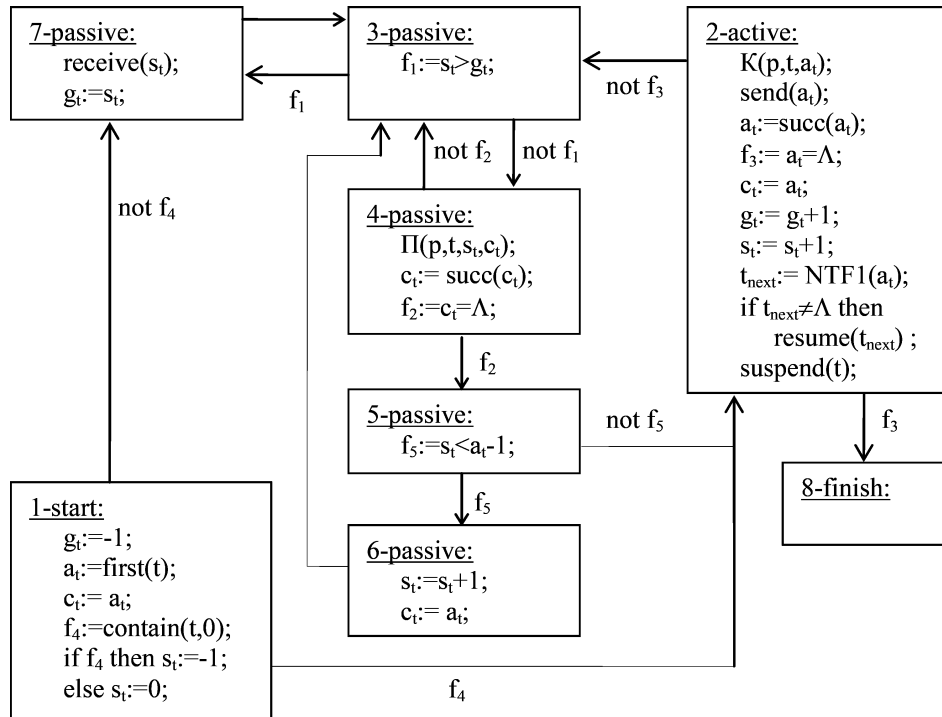
ку  $t$  па актыўнаму радку  $u = t \times N + k$ :  $a_{vj} = a_{vj} - a_{vu} \times a_{uj}$  і  $b_v = b_v - a_{vu} \times b_u$  для  $j = u, \dots, M - 1$ . Працаёмкасць аперацый  $K(t, k)$  і  $\Pi(MyT, t, k, i)$  лінейна меншае з павелічэннем нумары актыўнага патоку  $t$  і нумары актыўнага радка  $k$ , які належыць патоку  $t$ . Як паказана ў працы [2], вылічальная нагрузка нераўнамерная па патоках, прычым алгарытм μ1 дае больш нераўнамернае размеркаванне ў параўнанні з алгарытмам μ2.

Пры выкананні, патокі прызначаюцца на  $P$  працэсараў, прычым адзін працэсар рэалізуе  $T/P$  патокаў. Для алгарытмаў μ1 і μ2 мы выкарыстоўваем адно і тое ж прызначэнне: на працэсар  $p \in \{0, \dots, P - 1\}$  прызначаюцца патокі з нумарамі  $p, p + P, p + 2P, \dots, (K - 1) \times P + p$ , дзе  $K = T/P$ . Такое прызначэнне згладжвае нераўнамернае

размеркаванне вылічальнай нагрузкі па патоках. Мал. 2 ілюструе крокі працы алгарытмаў μ1 і μ2 пры вырашэнні СЛАР з 8 радкоў, прызначаных на 4 патокі, якія выконваюцца на 2 працэсарах. Тут  $T_i$  – бягучы паток;  $K_j$  і  $\Pi_j$  – аперацыі, якія выконваюцца і выкарыстоўваюць радок  $j$ ;  $C_k$  – радок, над якім выконваюцца аперацыі.

### Кааператыўны блочна-паралельны алгарытм μ1к

Асноўным прынцыпам пабудовы кааператыўнага алгарытму [1] з’яўляецца мінімізацыя колькасці перадач кіравання паміж патокамі на адным працэсары. Пры прызначэнні на адзін працэсар  $K$  патокаў, мінімальная колькасць перадач кіравання роўная  $K - 1$ . Гэты прынцып



Малюнак 3. - Кааператыўны блочна-паралельны алгарытм  $\mu k$  рашэння СЛАР (прамы ход)

добра спалучаецца з размеркаваннем радкоў па патоках у алгарытме  $\mu 1$ , дзякуючы якому паток  $t$  пасылае паведамленні патокам  $h > t$  і ня пасылае паведамленні патокам  $h < t$ . Кааператыўны алгарытм будзеца такім чынам, што кожны з патокаў цалкам выконвае сваю працу, а затым перадае кіраванне наступнаму патоку з большым нумарам, прызначанаму на той жа працэсар. Неабходнай умовай выканання работы патокам з'яўляецца назапашванне ўсіх радкоў ад іншых патокаў, якія папярэднічаюць радкам дадзенага патоку. Патоку на адным працэсары выконваюцца паслядоўна, на розных працэсарах – паралельна.

Дыяграма высокаўзроўневага аўтамата, якая апісвае паводзіны аднаго актыўнага патоку  $t$ , што функцыянуе згодна з алгарытмам  $\mu k$ , выконваецца на працэсары  $p$  і ўзаемадзейнічае з іншымі патокамі, паказаная на мал. 3. Дыяграма ўключае 8 станаў, якія функцыянуюць у 4 рэжымах: *start*, *active*, *passive* і *finish*. Стан 1-*start* ініцыялізуе паток  $t$ . Стан 2-*active* выконвае аперацыі над актыўным радком  $a_t$ . Станы 3-*passive* ... 7-*passive* выконваюць аперацыі над пасіўным радком  $c_t$ , каэфіцыенты якога пералічваюцца па радку  $s_t$ . Стан 8-*finish* з'яўляецца канчатковым ў патоку  $t$ .

У пачатковым стане 1-*start* зменнай  $g_t$ , якая прадстаўляе на бягучы момант часу глабальна

актыўны радок, прысвойваецца пустое значэнне  $-1$ . Далей, у наступных выпадках, радок  $g_t$  генеруецца патокам  $t$  на працэсары  $p$  з дапамогай аперацыі  $K(p, t, k)$  або прымаецца ад іншага патоку, які выконваецца на працэсары  $p$  або на іншых працэсарах. Зменнай  $a_t$ , ( $a_t > g_t$ ), якая вызначае радок, што павінен стаць наступным актыўным радком ў патоку  $t$ , прысвойваецца найменшы ў патоку  $t$  радок  $first(t)$ . Заўважым, што радку  $a_t$  можа спатрэбіцца пэўны час каб стаць актыўным, паколькі яму можа спатрэбіцца пералік ад іншых папярэдніх радкоў з іншых патокаў, якія стануць актыўнымі да таго як актыўным стане радок  $a_t$ . Першым пасіўным радком  $c_t$  патоку  $t$  з'яўляецца пачатковы радок  $first(t)$ . Калі паток  $t$  ўтрымлівае радок з нулявым нумарам (у гэтым выпадку выконваецца прэдыкат  $contain(t, 0)$ ), зменнай  $f_4$  прысвойваецца значэнне *true*, а зменнай  $s_t$  прысвойваецца пустое значэнне  $-1$ , пасля чаго выконваецца пераход аўтамата ў стан 2-*active*. У адваротным выпадку зменнай  $f_4$  прысвойваецца значэнне *false*, зменнай  $s_t$  прысвойваецца значэнне  $0$ , а аўтамат пераходзіць у стан 7-*passive*.

У стане 2-*active* радок  $a_t$  нармалізуецца аперацыяй  $K(p, t, a_t)$  і пасылаецца іншым патокам з мэтай пераліку прызначаных на іх радкоў. У якасці новага  $a_t$  выбіраецца наступны

```

function NextThreadF(Th, Pr) {
  for each  $p \in P$  {  $\pi_p := -1$ ; }
  for  $i := 1, \dots, M$  {
     $t := Th_i$ ;  $p := Pr_i$ ;
    if  $\pi_p = -1$  then {  $\pi_p := i$ ; } else {  $NTF(\pi_p) := t$ ;  $\pi_p := i$ ; }
  }
  for each  $p \in P$  {  $NTF(\pi_p) := -1$ ; }
  return  $NTF$ ;
}

```

Малюнак 4. - Функцыя вылічэння вектара  $NTF$  патокаў, якім перадаецца кіраванне пасля выканання аперацыі  $K(p, t, a_i)$

радок, уключаны ў  $t$ , які становіцца таксама пасіўна пералічваемым радком  $c_i$ . Нумары глабальна актыўнага радка  $g_i$  і радка  $s_i$  павялічваецца на 1, а наступным актыўным патокам  $t_{\text{next}}$  на працэсары  $p$  становіцца паток  $NTF1(a_i)$ . Аператар  $resume(t_{\text{next}})$  аднаўляе паток  $t_{\text{next}}$  калі гэта непусты паток, а аператар  $suspend(t)$  прыпыняе паток  $t$ . Калі радок  $a_i$  з'яўляецца пустым  $\Lambda$ , то зменнай  $f3$  прысвойваецца значэнне  $true$ , а аўтамат пераходзіць у канчатковы стан  $8\text{-finish}$ , у адваротным выпадку аўтамат пераходзіць у стан  $3\text{-passive}$ . Функцыя  $NextThreadF$  вылічэння нумароў патокаў  $NTF$  прадстаўлена на мал. 4. Для СЛАР з 8 радкоў, прызначаных на 4 патокі, што выконваюцца на 2 працэсарах, вектар  $NTF1 = \{0, 2, 1, 3, 2, -1, 3, -1\}$  вылічаецца выклікам функцыі з параметрамі  $Th = \{0, 0, 1, 1, 2, 2, 3, 3\}$  і  $Pr = \{0, 1, 0, 1\}$ . Элемент  $Th_i$  вектара  $Th$  ёсць нумар патоку, які змяшчае радок  $i$ , а элемент  $Pr_i$  вектара  $Pr$  ёсць нумар працэсара, на якім выконваецца паток  $t$ . Першы элемент 0 на вектары  $NTF1$  азначае, што пасля нармалізацыі радка 0 на працэсары 0 кіраванне застаецца ў патоку 0, а другі элемент 2 азначае, што пасля нармалізацыі радка 1 кіраванне перадаецца патоку 2 на тым жа працэсары 0. Значэнне  $-1$  азначае завяршэнне вылічэнняў на адпаведным працэсары.

У стане  $3\text{-passive}$  булевай зменнай  $f1$  прысвойваецца значэнне  $true$ , калі нумар радка  $s_i$  больш нумара глабальна актыўнага радка  $g_i$ , і аўтамат пераходзіць у стан  $7\text{-passive}$  з мэтай чакання прыёму радка  $s_i(g_i)$  ад іншых патокаў. Калі выконваецца роўнасць  $s_i = g_i$ , то радок  $s_i$  ўжо з'яўляецца глабальна актыўным, зменнай  $f1$  прысвойваецца значэнне  $false$ , і аўтамат пераходзіць у стан  $4\text{-passive}$ . У стане  $4\text{-passive}$  аперацыя  $\Pi(p, t, s_i, c_i)$  пералічвае пасіўны радок  $c_i$  па радку  $s_i$ , а наступны пералічваемы радок вызначаецца аперацыяй  $succ(c_i)$ . Калі гэта пусты радок  $\Lambda$ , булева зменная  $f2$  атрымлівае

значэнне  $true$ , і аўтамат пераходзіць у стан  $5\text{-passive}$ . У адваротным выпадку аўтамат вяртаецца ў стан  $3\text{-passive}$ . У стане  $5\text{-passive}$ , калі радок  $s_i$  з'яўляецца апошнім, па якому пералічваецца радок  $a_i$ , булева зменная  $f5$  атрымлівае значэнне  $false$  і аўтамат пераходзіць у стан  $2\text{-active}$ . У адваротным выпадку аўтамат пераходзіць у стан  $6\text{-passive}$ , дзе нумар радка  $s_i$  павялічваецца на адзінку і прысвойваецца нумары першага пералічванага радка  $c_i$ , пры гэтым аўтамат вяртаецца ў стан  $3\text{-passive}$ . У стане  $7\text{-passive}$  паток  $t$  чакае з дапамогай аператара  $receive(s_i)$  прыёму актыўнага радка  $s_i$  ад іншага патоку. Пры прызначэнні патокаў на адзін працэсар, аперацыі пасылкі-прыёму паведамленняў выконваюцца хутчэй, калі на розныя працэсары – больш павольна.

Асаблівасцю працы алгарытму  $\mu 1$ к у пасіўных станах  $3\text{-passive} - 7\text{-passive}$  з'яўляецца паслядоўны перабор актыўных радкоў  $s_i$ , пачынаючы з 0 і канчаючы  $a_i - 1$  з мэтай пераліку пасіўных радкоў ад  $a_i$  да пустога радка  $\Lambda$ .

Крокі працы алгарытму  $\mu 1$ к на СЛАР памерам  $8 \times 8$ , вырашаемай 4 патокамі, выканваемымі на 2 працэсарах, паказаны на мал. 5 злева. Колькасць крокаў скарацілася на 1 у параўнанні з алгарытмам  $\mu 1$ , пры гэтым, у адрозненне ад алгарытму  $\mu 1$ , які выконвае 2 перадачы кіравання паміж патокамі на працэсары ЛП0 і 7 перадач кіравання на працэсары ЛП1, алгарытм  $\mu 1$ к выконвае толькі па адной перадачы кіравання на кожным з працэсараў. Высокаўзроўневы аўтамат, які апісвае паводзіны патоку пры зваротным ходзе па матрыцы  $A$ , будуюцца аналагічным чынам.

### Кааператыўны блочна-паралельны алгарытм $\mu 2$ к

Асноўным прынцыпам пабудовы кааператыўнага алгарытму  $\mu 2$ к з'яўляецца мінімізацыя колькасці пераходаў ад пераліку каэфіцы-

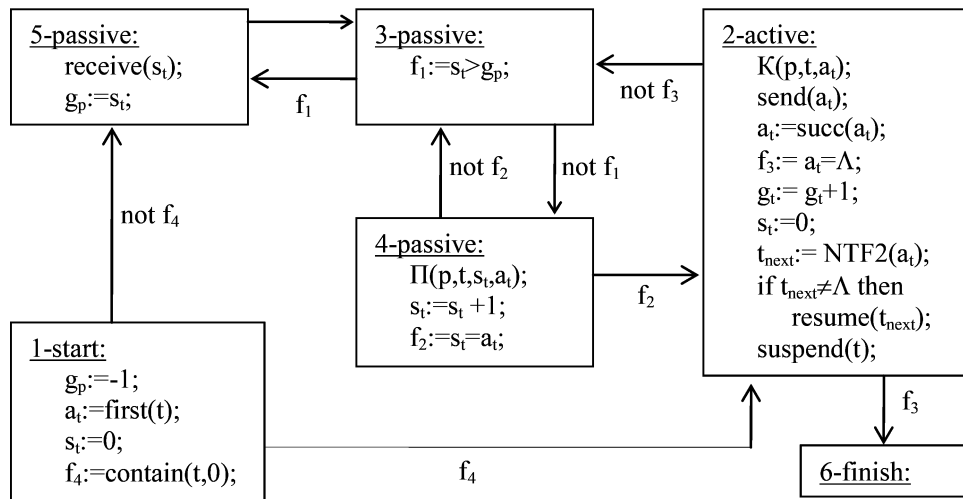
№	ЛП 0			ЛП 1		
1	T0	K0	C0			
2	T0	Π0	C1	T1	Π0	C2
3	T0	K1	C1	T1	Π0	C3
4	T2	Π0	C4	T1	Π1	C2
5	T2	Π0	C5	T1	Π1	C3
6	T2	Π1	C4	T1	K2	C2
7	T2	Π1	C5	T1	Π2	C3
8	T2	Π2	C4	T1	K3	C3
9	T2	Π2	C5	T3	Π0	C6
10	T2	Π3	C4	T3	Π0	C7
11	T2	Π3	C5	T3	Π1	C6
12	T2	K4	C4	T3	Π1	C7
13	T2	Π4	C5	T3	Π2	C6
14	T2	K5	C5	T3	Π2	C7
15				T3	Π3	C6
16				T3	Π3	C7
17				T3	Π4	C6
18				T3	Π4	C7
19				T3	Π5	C6
20				T3	Π5	C7
21				T3	K6	C6
22				T3	Π6	C7
23				T3	K7	C7

μ1к

№	ЛП 0			ЛП 1		
1	T0	K0	C0			
2	T2	Π0	C2	T1	Π0	C1
3				T1	K1	C1
4	T2	Π1	C2	T3	Π0	C3
5	T2	K2	C2	T3	Π1	C3
6	T0	Π0	C4	T3	Π2	C3
7	T0	Π1	C4	T3	K3	C3
8	T0	Π2	C4	T1	Π0	C5
9	T0	Π3	C4	T1	Π1	C5
10	T0	K4	C4	T1	Π2	C5
11	T2	Π0	C6	T1	Π3	C5
12	T2	Π1	C6	T1	Π4	C5
13	T2	Π2	C6	T1	K5	C5
14	T2	Π3	C6	T3	Π0	C7
15	T2	Π4	C6	T3	Π1	C7
16	T2	Π5	C6	T3	Π2	C7
17	T2	K6	C6	T3	Π3	C7
18				T3	Π4	C7
19				T3	Π5	C7
20				T3	Π6	C7
21				T3	K7	C7

μ2к

Малюнок 5. - Кроки працы алгарытмаў μ1к і μ2к на 8 радках, 4 патоках, 2 працэсарах (прамы ход)



Малюнок 6. - Кааператыўны блочна-паралельны алгарытм μ2к рашэння СЛАР (прамы ход)

ентаў аднаго радка да пераліку каэфіцыентаў іншага радка. Пры прызначэнні на адзін працэсар  $K$  патокаў, якія змяшчаюць сумесна  $S = M/P$  радкоў, міні-мальная колькасць пераходаў роўная  $S - 1$ . Гэтыя пераходы паміж радкамі могуць павялічыць колькасць перадач кіравання паміж патокамі у параўнанні з алгарытмам μ1к. Ўказаны прынцып добра спалучаецца з размеркаваннем радкоў па патоках у алгарытме μ2, дзякуючы якому вылічэнні эфектыўна размяркоўваюцца і распаралельваюцца на працэсарах. Алгарытм μ2к будзе такім чынам, што цалкам апрацоўваецца бягучы радок матрыцы

СЛАР, а затым выконваецца пераход да апрацоўкі наступнага радка на дадзеным працэсарах, з магчымай перадачай кіравання іншаму патоку. Неабходнай умовай завяршэння пераліку бягучага радка з'яўляецца назапашванне ўсіх папярэдніх радкоў, пералік якіх завершаны.

Дыяграма высокаўзроўневага аўтамата, якая апісвае паводзіны алгарытму μ2к ў патоку  $t$  на працэсарах  $p$ , паказаная на мал. 6. Дыяграма ўключае 6 станаў, якія функцыянуюць у 4 рэжымах: *start*, *active*, *passive* і *finish*. У пачатковым стане 1-*start* глабальна актыўным радком  $g_t$  становіцца пусты радок (з нумарам  $-1$ ),

актыўным радком  $a_t$  становіцца радок  $first(t)$ , радком  $s_t$ , які выкарыстоўваецца для пераліку іншых наступных радкоў, становіцца радок з нумарам 0. Пераход аўтамата ў наступны стан вызначаецца прэдыкатам  $contain(t, 0)$  і зменнай  $f4$ , прымаючай значэнне  $true$ , калі радок з нумарам 0 ўключаны ў паток  $t$ .

У стане *2-active* радок  $a_t$  нармалізуецца аперацыяй  $K(p, t, a_t)$  і пасылаецца іншым патокам з мэтай пераліку радкоў з большымі нумарамі. Новым значэннем  $a_t$  становіцца наступны радок, уключаны ў паток  $t$ , а нумар глабальна актыўнага радка  $g_t$  павялічваецца на 1. Значэннем  $s_t$  становіцца радок з нумарам 0. Наступны актыўны паток  $t_{next}$  на працэсары  $p$  выбіраецца апэратарам  $NTF2(a_t)$  у залежнасці ад нумара радка  $a_t$ . Паток  $t_{next}$  аднаўляецца апэратарам  $resume(t_{next})$ , калі гэта не пусты паток, а паток  $t$  прыпыняецца апэратарам  $suspend(t)$ . Пераход аўтамата ў наступны стан *3-passive* або *8-finish* вызначаецца булевай зменнай  $f3$ , якая прымае значэнне  $true$ , калі радок  $a_t$  з'яўляецца пустым ( $\Lambda$ ). Для разгляднага прыкладу, вектар  $NTF2 = \{2, 3, 0, 1, 2, 3, -1, -1\}$  нумароў патокаў, якім перадаецца кіраванне пасля завяршэння апрацоўкі радкоў, вызначаецца ў выніку выкліку функцыі  $NextThreadF$  з параметрамі  $Th = \{0, 1, 2, 3, 0, 1, 2, 3\}$  і  $Pr = \{0, 1, 0, 1\}$ .

У стане *3-passive*, калі  $s_t > g_t$ , аўтамат пераходзіць у стан *5-passive*, калі ж  $s_t = g_t$ , аўтамат пераходзіць у стан *4-passive*. У стане *4-passive* аперацыя  $P(p, t, s_t, a_t)$  пералічвае радок  $a_t$  па радку  $s_t$ . Нумар наступнага радка  $s_t$  павялічваецца на 1. Калі новы радок  $s_t$  супадае з радком  $a_t$ , пералік радка  $a_t$  ад папярэдніх радкоў скончаны і аўтамат пераходзіць у стан *2-active*. У адваротным выпадку пералік не скончаны, аўтамат вяртаецца ў стан *3-passive*. У стане *5-passive*, аўтамат чакае радок  $s_t$ , пералічаны іншымі патокамі. У выпадку атрымання такога радка апэратарам  $receive(s_t)$ , аўтамат вяртаецца ў стан *3-passive*.

Крокі працы алгарытму  $\mu 2k$  на СЛАР памерам  $8 \times 8$ , які выконваецца 4 патокамі на 2 працэсарах, паказаны на мал. 5 справа. Колькасць крокаў скарацілася на 2 у параўнанні з алгарытмам  $\mu 1k$ , аднак, у адрозненне ад  $\mu 1k$ , які выконвае па 1-й перадачы кіравання паміж патокамі на кожным працэсары, алгарытм  $\mu 2k$  выконвае больш, а менавіта, па 3 перадачы на

кожным працэсары. У той жа час, колькасць перадач значна скарацілася ў параўнанні з алгарытмам  $\mu 2$ , які выконвае 7 перадач на ЛП0 і 9 перадач на ЛП1. Высокаўзроўневы аўтамат, які апісвае паводзіны патоку пры зваротным ходзе па матрыцы СЛАР, будзеца аналагічным чынам.

### Эксперыментальнае даследаванне кааператыўных блочна-паралельных алгарытмаў

Найважнейшымі параметрамі шматпаточных прыкладанняў з'яўляюцца: колькасць выконваемых макра аперацый  $K(p, t, a_t)$  і  $P(p, t, s_t, a_t)$ ; даўжыня крытычнага шляху ў ліку макра аперацый (CP); каэфіцыент распаралельвання, ацэньваны як агульная колькасць макра аперацый падзеленае на даўжыню крытычнага шляху (Prl); сярэдняя загрузка працэсара (Ld%); сярэдняя колькасць паведамленняў паміж парай патокаў (MbT); сярэдняя колькасць паведамленняў паміж парай працэсараў (MbP); сярэдняя колькасць паведамленняў ўнутры аднаго працэсара (MopP); сярэдняя колькасць перадач кіравання паміж патокамі на адным працэсары (CTP).

Праведзены тры серыі эксперыментаў, якія выяўляюць змену параметраў алгарытмаў  $\mu 1$ ,  $\mu 2$ ,  $\mu 1k$  і  $\mu 2k$  ў залежнасці ад: памеру матрыцы СЛАР, колькасці патокаў і колькасці працэсараў. Вынікі прадстаўлены ў табл. 1–6. Павелічэнне радкоў СЛАР з 8 да 128 павялічвае лік макра аперацый з 72 да 16512 (табл. 1). Пры выкарыстанні 8 патокаў і 4 працэсараў, даўжыня крытычнага шляху павялічваецца з 36 да 5676 для алгарытму  $\mu 1$  і з 30 да 5670 для алгарытму  $\mu 1k$ . Для алгарытмаў  $\mu 2$  і  $\mu 2k$  павелічэнне склала з 36 да 4416, і з 30 да 4230 адпаведна. Як следства, каэфіцыент распаралельвання і загрузка працэсараў вышэй у  $\mu 1k$  у параўнанні з  $\mu 1$  на 0.1% – 20%, і вышэй у  $\mu 2k$  у параўнанні з  $\mu 2$  на 4.4% – 20%. Па гэтых параметрах  $\mu 2k$  пераўзыходзіць  $\mu 1k$  да 34%, прычым перавага ўзрастае з ростам памеру СЛАР. Лік паведамленняў паміж парай патокаў і ўнутры аднаго працэсара ўзрастае з ростам памеру СЛАР для ўсіх алгарытмаў (табл.2). Яно каля 2 разоў вышэй для  $\mu 2$  і  $\mu 2k$  у параўнанні з  $\mu 1$  і  $\mu 1k$ . Лік паведамленняў паміж парай працэсараў расце хутчэй для  $\mu 2$  і  $\mu 2k$ , чым для  $\mu 1$  і  $\mu 1k$ . Лік перадач кіравання

Таблиця 1. Залежність параметрів CP, Prl і Ld ад колькасці радкоў у матрыцы СЛАР для алгарытмаў  $\mu_1$ ,  $\mu_2$ ,  $\mu_{1к}$  і  $\mu_{2к}$ , 8 патокаў і 4 працэсараў

Лік радкоў СЛАР	Лік макра апераций	Алгарытмы / Параметры											
		$\mu_1$			$\mu_2$			$\mu_{1к}$			$\mu_{2к}$		
		CP	Prl	Ld%	CP	Prl	Ld%	CP	Prl	Ld%	CP	Prl	Ld%
8	72	36	2.00	50.0	36	2.00	50.0	30	2.40	60.0	30	2.40	60.0
16	272	104	2.62	65.4	104	2.62	65.4	98	2.78	69.4	86	3.16	79.1
32	1056	372	2.84	71.0	336	3.14	78.6	366	2.89	72.1	294	3.59	89.8
64	4160	1436	2.90	72.4	1184	3.51	87.8	1430	2.91	72.7	1094	3.80	95.1
128	16512	5676	2.91	72.7	4416	3.74	93.5	5670	2.91	72.8	4230	3.90	97.6

Таблиця 2. Залежність параметраў MbT, MbP, MonP і CTP ад колькасці радкоў у матрыцы СЛАР для алгарытмаў  $\mu_1$ ,  $\mu_2$ ,  $\mu_{1к}$  і  $\mu_{2к}$ , 8 патокаў і 4 працэсараў

Лік радкоў СЛАР	Алгарытмы / Параметры									
	$\mu_1$ і $\mu_{1к}$			$\mu_1$	$\mu_{1к}$	$\mu_2$ і $\mu_{2к}$			$\mu_2$	$\mu_{2к}$
	MbT	MbP	MonP	CTP	CTP	MbT	MbP	MonP	CTP	CTP
8	1	3	2	8	2	1	3	2	8	2
16	2	6	4	18	2	3	6	6	50	6
32	4	12	8	38	2	7	15	14	230	14
64	8	24	16	78	2	15	31	30	974	30
128	16	48	32	158	2	31	63	62	3998	62

Таблиця 3. Залежність параметраў CP, Prl і Ld ад колькасці патокаў для алгарытмаў  $\mu_1$ ,  $\mu_2$ ,  $\mu_{1к}$  і  $\mu_{2к}$ , 64 радкоў у матрыцы СЛАР (4160 макра апераций) і 4 працэсараў

Лік патокаў	Алгарытмы / Параметры											
	$\mu_1$			$\mu_2$			$\mu_{1к}$			$\mu_{2к}$		
	CP	Prl	Ld%	CP	Prl	Ld%	CP	Prl	Ld%	CP	Prl	Ld%
4	1814	2.29	57.3	1184	3.51	87.8	1814	2.29	57.3	1094	3.80	95.1
8	1436	2.90	72.4	1184	3.51	87.8	1430	2.91	72.7	1094	3.80	95.1
16	1256	3.31	82.8	1184	3.51	87.8	1238	3.36	84.0	1094	3.80	95.1
32	1184	3.51	87.8	1184	3.51	87.8	1142	3.64	91.1	1094	3.80	95.1
64	1184	3.51	87.8	1184	3.51	87.8	1094	3.80	95.1	1094	3.80	95.1

Таблиця 4. Залежність параметраў MbT, MbP, MonP і CTP ад колькасці патокаў для алгарытмаў  $\mu_1$ ,  $\mu_2$ ,  $\mu_{1к}$  і  $\mu_{2к}$ , 64 радкоў у матрыцы СЛАР і 4 працэсараў

Лік патокаў	Алгарытмы / Параметры									
	$\mu_1$ і $\mu_{1к}$			$\mu_1$	$\mu_{1к}$	$\mu_2$ і $\mu_{2к}$			$\mu_2$	$\mu_{2к}$
	MbT	MbP	MonP	CTP	CTP	MbT	MbP	MonP	CTP	CTP
4	16	16	0	0	0	31	31	0	0	0
8	8	24	16	78	2	15	31	30	974	30
16	4	28	24	238	6	7	31	30	1006	30
32	2	30	28	510	14	3	31	30	1022	30
64	1	31	30	1030	30	1	31	30	1030	30

паміж патокамі на адным працэсары застаецца сталым для  $\mu_{1к}$ , узрастае для  $\mu_{2к}$ , хутка ўзрастае для  $\mu_1$  і яшчэ хутчэй для  $\mu_2$ .

Табл. 3, 4 паказваюць залежнасць параметраў прыкладання ад колькасці патокаў для 64 радкоў у СЛАР (4160 макра апераций) і 4 працэсараў. Для  $\mu_2$  і  $\mu_{2к}$  даўжыня крытычнага

шляху не залежыць ад колькасці патокаў, пры гэтым  $\mu_{2к}$  пераўзыходзіць  $\mu_2$  на 8.2%. Пры павелічэнні колькасці патокаў з 4 да 64 крытычны шлях скарачаецца, а каэфіцыент распаралельвання і загрузка працэсараў павялічваюцца на 53.2% для алгарытму  $\mu_1$  і на 65.8% для алгарытму  $\mu_{1к}$ . Згодна з табл. 4, лік паве-

Табліца 5. Залежнасць CP, Prl і Ld ад колькасці працэсараў для алгарытмаў  $\mu_1$ ,  $\mu_2$ ,  $\mu_{1к}$  і  $\mu_{2к}$ , 64 радкоў у матрыцы СЛАР (4160 макра аперацый) і 32 патокаў

Лік працэсараў	Алгарытмы / Параметры											
	$\mu_1$			$\mu_2$			$\mu_{1к}$			$\mu_{2к}$		
	CP	Prl	Ld%	CP	Prl	Ld%	CP	Prl	Ld%	CP	Prl	Ld%
1	4160	1.00	100.0	4160	1.00	100.0	4160	1.00	100.0	4160	1.00	100.0
2	2176	1.91	95.6	2176	1.91	95.6	2146	1.94	96.9	2114	1.97	98.4
4	1184	3.51	87.8	1184	3.51	87.8	1142	3.64	91.1	1094	3.80	95.1
8	688	6.05	75.6	688	6.05	75.6	646	6.44	80.5	590	7.05	88.1
16	440	9.45	59.1	440	9.45	59.1	410	10.15	63.4	350	11.89	74.3
32	316	13.16	41.1	316	13.16	41.1	316	13.16	41.1	254	16.38	51.2

Табліца 6. Залежнасць MbT, MbP, MonP і CTP ад колькасці працэсараў для алгарытмаў  $\mu_1$ ,  $\mu_2$ ,  $\mu_{1к}$  і  $\mu_{2к}$ , 64 радкоў у матрыцы СЛАР і 32 патокаў

Лік працэсараў	Алгарытмы / Параметры										
	$\mu_1$ і $\mu_{1к}$			$\mu_1$	$\mu_{1к}$	$\mu_2$ і $\mu_{2к}$			$\mu_2$	$\mu_{2к}$	
	MbT	MbP	MonP	CTP	CTP	MbT	MbP	MonP	CTP	CTP	
1	2	0	124	2106	62	3	0	126	4154	126	
2	2	62	60	1046	30	3	63	62	2070	62	
4	2	30	28	510	14	3	31	30	1022	30	
8	2	14	12	230	6	3	15	14	486	14	
16	2	6	4	66	2	3	7	6	194	6	
32	2	2	0	0	0	3	3	0	0	0	

дамленняў паміж парай патокаў памяншаецца з 16 да 1, лік паведамленняў паміж парай працэсараў павялічваецца з 16 да 31, а колькасць паведамленняў на адным працэсары павялічваецца з 0 да 30 для алгарытмаў  $\mu_1$  і  $\mu_{1к}$ . Для алгарытмаў  $\mu_2$  і  $\mu_{2к}$ , лік паведамленняў паміж парай патокаў памяншаецца з 31 да 1, а лік паведамленняў паміж парай працэсараў і паміж патокамі на адным працэсары нязменны і роўны 31 і 30 адпаведна. Лік перадач упраўленняў паміж патокамі на адным працэсары ўзрастае з 0 да 30 для  $\mu_{1к}$ , застаецца сталым і роўным 30 для  $\mu_{2к}$ , хутка ўзрастае з 0 да 1030 для  $\mu_1$  і яшчэ хутчэй ўзрастае з 0 да 1030 для  $\mu_2$ .

Табл. 5, 6 паказваюць залежнасць параметраў шматпатоковага праграмнага прыкладання ад колькасці працэсараў для 64 радкоў у СЛАР і 32 патокаў. Для алгарытмаў  $\mu_1$  і  $\mu_2$ , пры павелічэнні колькасці працэсараў з 1 да 32 даўжыня крытычнага шляху паменшылася з 4160 да 316, каэфіцыент распаралельвання вырас з 1.0 да 13.16 і загрузка працэсараў паменшылася з 100% да 41.1%. Па гэтых параметрах алгарытм  $\mu_{1к}$  даў некалькі лепшых вынікаў. Самым лепшым аказаўся алгарытм  $\mu_{2к}$ , які скараціў даўжыню крытычнага шляху да 254 і павялічыў каэфіцыент распаралельвання да 16.38

(на 24.4%). Відавочна, што лік паведамленняў паміж парай патокаў не залежыць ад колькасці працэсараў. Дынаміка змяншэння сярэдняй колькасці паведамленняў паміж парай працэсараў і колькасці паведамленняў на адным працэсары амаль аднолькавая для ўсіх алгарытмаў, з 62–63 да 2–3 і з 124–126 да 0 адпаведна. Колькасць перадач упраўлення паміж патокамі на працэсары памяншаецца для ўсіх алгарытмаў з ростам колькасці працэсараў, але ў розным дыяпазоне. Менш за ўсё перадач у алгарытму  $\mu_{1к}$  (0–62), затым у алгарытму  $\mu_{2к}$  (0–126, каля 2 разоў больш). Алгарытмы  $\mu_1$  і  $\mu_2$  выконваюць нашмат больш перадач, 0–2106 і 0–4154 адпаведна.

### Заклучэнне

Прапанаваныя кааператыўныя блочна-паралельныя алгарытмы  $\mu_{1к}$  і  $\mu_{2к}$  значна пераўзыходзяць вядомыя алгарытмы  $\mu_1$  і  $\mu_2$  па даўжыні крытычнага шляху, каэфіцыенту распаралельвання, загрузцы працэсараў і перадачам кіравання паміж патокамі на працэсары. Параўнанне кааператыўных алгарытмаў  $\mu_{1к}$  і  $\mu_{2к}$  паміж сабой паказвае, што  $\mu_{1к}$  дае менш перадач кіравання паміж патокамі, аднак  $\mu_{2к}$  дае больш кароткі крытычны шлях і больш значную загрузку працэсараў.



## ЛИТАРАТУРА

1. **Корнеев, В. Д.** Примеры параллельного программирования на МВС-1000 / В. Д. Корнеев // ИВМиМГ СО РАН [Электронный ресурс]: – Режим доступа: [http://www2.sssc.ru/Publikacii/Primery\\_Prl/Primery.htm](http://www2.sssc.ru/Publikacii/Primery_Prl/Primery.htm) – Дата доступа: 07.04.2014.
2. **Прихожий, А. А.** Исследование методов реализации многопоточных приложений на многоядерных системах / А. А. Прихожий, О. Н. Карасик // Информатизация образования, 2014, № 1. – С. 43–62.
3. **Прихожий, А. А.** Кооперативная модель оптимизации выполнения потоков на многоядерной системе / А. А. Прихожий, О. Н. Карасик // Системный анализ и прикладная информатика, 2014, № 4. – С. 13–20.

Поступила 7.7.2015

*Prihozhy A., Karasik O.*

### **COOPERATIVE BLOCK-PARALLEL ALGORITHMS FOR TASK EXECUTION ON MULTI-CORE SYSTEM**

*The problem of balancing the computational load among the cores of a multi-core system and increasing the efficiency of interaction among threads in a multi-thread application is considered. The cooperative block-parallel algorithms of solving complex tasks that can be decomposed into subtasks, which decrease the number of control transfers among threads, reduce the critical path length in a parallel implementation and increase the cores load are proposed.*